

## ВОЗБУЖДЕНИЕ И ЭВОЛЮЦИЯ МИКРОПЛАЗМ — ПИЧКОВЫХ АВТОСОЛИТОНОВ В КРЕМНИЕВЫХ $p-i-n$ -СТРУКТУРАХ

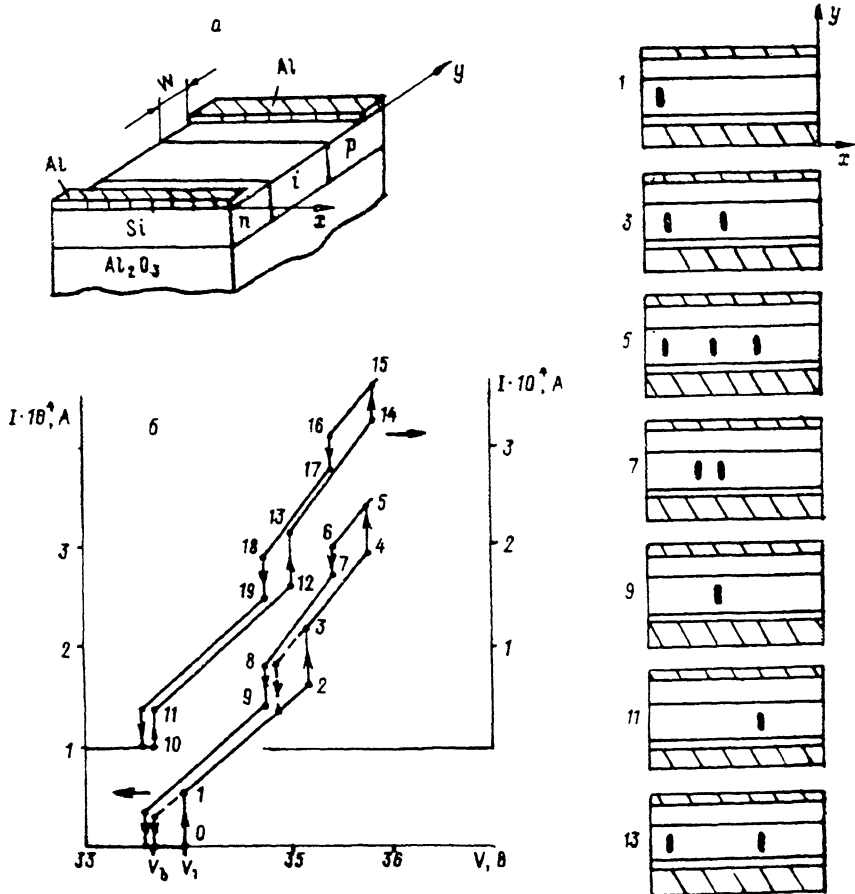
Ващенко В. А., Кернер Б. С., Осипов В. В., Синкевич В. Ф.

Экспериментально изучены микроплазмы, возникающие в специально изготовленных планарных  $p-i-n$ -структуратах на основе тонкой пленки кремния на сапфировой подложке. Показано, что микроплазмы в виде тонких светящихся нитей можно возбуждать в произвольном месте структуры локализованным импульсом света. В отсутствие импульса света микроплазмы возникают в месте расположения неоднородностей, играющих роль зародышей микроплазм. Образование и исчезновение новых микроплазм сопровождаются многочисленными участками гистерезиса на ВАХ структуры. Наблюдаемая сложная картина эволюции микроплазм объясняется на основе общих свойств пичковых автосолитонов.

При лавинном пробое  $p-n$ -переходов, как правило, наблюдаются микроплазмы в виде светящихся точек размерами  $\sim \text{мкм}$  [1]. Принято считать, что микроплазмы образуются благодаря малым неоднородностям в области пространственного заряда  $p-n$ -перехода. Однако на основе этого простого соображения нельзя объяснить многие свойства микроплазм, а прежде всего гистерезиса, проявляющийся при возникновении и исчезновении микроплазм. В только что выпущенной работе [2] предложен механизм образования микроплазм в  $p-i-n$ -структуре и теоретически изучены их свойства. Образование микроплазм связывается с возрастающей зависимостью скорости ударной ионизации от концентрации неравновесных носителей в  $i$ -области структуры и растеканием тока по квазинейтральным  $n$ - и  $p$ -областям. Согласно [2], микроплазмы являются одним из наиболее ярко выраженных примеров реализации пичковых автосолитонов, т. е. сильно неравновесных областей, которые можно возбудить в различного рода слабо неравновесных системах [3]. Иными словами, микроплазмы должны обладать теми же свойствами, что и пичковые автосолитоны [3]. В частности, в [2] показано, что микроплазму можно возбудить в идеально однородной по площади  $p-i-n$ -структуре, а неоднородности являются лишь зародышами спонтанного образования микроплазм, параметры которых слабо зависят от параметров самих неоднородностей. Наличие же участков гистерезиса на вольт-амперной характеристике (ВАХ)  $p-i-n$ -структуре может быть связано с конечной областью устойчивого существования состояния в виде данного количества микроплазм в образце.

Для сопоставления выводов из теории микроплазм [2] с экспериментально наблюдаемыми их свойствами была специально изготовлена планарная  $p-i-n$ -структура на основе тонкой пленки кремния толщиной 0.5 мкм с концентрацией доноров  $\sim 10^{14} \text{ см}^{-3}$ , выращенной на диэлектрической подложке из сапфира. Сильно легированные  $p$ - и  $n$ -области ( $p \sim 10^{18} \text{ см}^{-3}$ ,  $n \sim 3 \cdot 10^{18} \text{ см}^{-3}$ ) изготавливались по стандартной технологии ионным легированием бора и фосфора, а электроды — напылением аллюминия (см. рисунок. а). Длина более высокомной  $p$ -области (по сравнению с  $n$ -областью) составляла 15 мкм, а ширина  $W \approx 3-4$  мкм (см. рисунок. а). Исследования показали, что при напряжениях  $V > V_b$  (на рисунке, б  $V = V_b \approx 34$  В), при которых коэффициент лавинного умножения  $M \approx 30-60$ , в  $p-i-n$ -структуре спонтанно возникает микроплазма в виде наблюдаемой в микроскопе светящейся нити размером  $\sim 1$  мкм. Ее обра-

сопровождается скачком тока ( скачок  $0 \rightarrow 1$  на рисунке, б, левая ось ординат), по величине которого можно оценить плотность тока, а следовательно, и коэффициент умножения в микроплазме. По оценкам, значение  $M_{\max}$  в микроплазме составляет величину  $\sim 10^9 - 10^{10}$ , т. е. совпадает со значением  $M_{\max}$ , полученным в численных расчетах [2]. Во многих структурах при повторении эксперимента образование микроплазмы происходило случайно в различных, но, как правило, фиксированных точках. При этом пороговое значение напряжения



Схематическое изображение исследуемой планарной кремниевой  $p-i-n$ -структуре (а) и вид одной из типичных ВАХ (б).

Справа изображены наблюдаемые в микроскоп качественные картинки расположения микроплазмы в виде нескольких светящихся нитей. Номер картинки соответствует точке на ВАХ, обозначенной тем же номером. На б верхняя кривая соответствует ВАХ образца при возбуждении первой микроплазмы Не—Не-лазером в области структуры, где отсутствует неоднородность (11 справа); для нее значения тока приведены на правой оси ординат. Стрелками показаны соответствующие увеличения или уменьшения тока при скачкообразном образовании новых микроплазм в образце. Штриховые линии — участки ВАХ, отвечающие уменьшению напряжения от точки 3, в которой образуются две микроплазмы (значение тока в точке 0 равно  $5.5 \cdot 10^{-8} A$ , а в точке 10 —  $4 \cdot 10^{-8} A$ ).

$V = V_b$ , величина скачка тока, при котором микроплазма исчезает ( скачок тока при  $V = V_b$  на рисунке, б), слабо зависит от того, в каком месте располагалась микроплазма.

Экспериментально обнаружено, что при напряжениях  $V > V_b$ , но  $V < V_1$  (см. рисунок, б) микроплазму можно возбудить вынужденно в произвольном месте структуры. Для этого  $p-i-n$ -структура кратковременно освещалась в различных точках  $i$ -области сфокусированным в пятно размером  $\sim 4$  мкм лучом света Не—Не-лазера мощностью  $\sim 1$  мВт (длина волны 0.63 мкм). Такое вынужденное образование микроплазмы также сопровождалось скачком тока ( скачок  $10 \rightarrow 11$  на рисунке, б, правая ось ординат), величина которого примерно совпадала со скачком тока при спонтанном образовании микроплазмы ( скачок  $0 \rightarrow 1$  на рисунке, б, левая ось ординат), и практически не зависело от

места возбуждения микроплазмы. Было установлено, что при понижении напряжения микроплазма исчезает при некотором критическом значении  $V \approx V_b$ , величина которого слабо зависит от места расположения микроплазмы. Таким образом, было установлено, что параметры микроплазмы — ее размер, плотность тока и область существования (величина критического напряжения  $V_b$ ) — не зависят от предыстории образования микроплазмы и слабо зависят от параметров неоднородности, спровоцировавшей спонтанное образование микроплазмы.

Картина эволюции микроплазм при изменении напряжения на структуре имеет весьма сложный вид (см. рисунок, б) и качественно не зависит от того, вынуждено или спонтанно произошло образование первой микроплазмы. С ростом напряжения увеличивается интенсивность свечения микроплазм, а при некоторых значениях напряжения число микроплазм скачкообразно увеличивается (скакки  $2 \rightarrow 3, 4 \rightarrow 5$  или  $12 \rightarrow 13, 14 \rightarrow 15$  на рисунке, б). С ростом тока число микроплазм увеличивается, а их распределение [вдоль оси  $x$  (см. рисунок, а)] все более напоминает периодическое. При этом минимально наблюдаемое расстояние между микроплазмами всегда превышало 3 мкм, т. е. ширину ( $W$ )  $p$ -области структуры (см. рисунок, а). Этот результат также согласуется с выводами работы [2].

При уменьшении напряжения интенсивность свечения каждой микроплазмы падает пропорционально току. При некоторых напряжениях число микроплазм в образце скачкообразно уменьшается (скакки  $6 \rightarrow 7, 8 \rightarrow 9$  или  $16 \rightarrow 17, 18 \rightarrow 19$  на рисунке, б). При уменьшении числа микроплазм в образце интенсивность свечения оставшихся микроплазм скачкообразно возрастает. Эти выводы также согласуются с результатами численных исследований модели микроплазм, предложенной в [2]. При дальнейшем уменьшении напряжения в  $p-n$ -структуре происходит образование сначала двух, а затем и одиночной микроплазм.

При уменьшении напряжения микроплазмы могут образовываться в совершенно иных местах, чем при увеличении напряжения (ср. 1 с 9 и 3 с 7 на рисунке справа). Вследствие этого при напряжениях  $V > V_b$  вид ВАХ зависит не только от количества, но и от расположения микроплазм в образце, т. е. от предыстории их образования. Вид ВАХ зависит также и от того, в какой последовательности происходят увеличение и уменьшение напряжения на образце (см. рисунок, б).

Таким образом, полученные в данной работе экспериментальные результаты согласуются с выводами развитой в [2] теории микроплазм и подтверждают тот факт, что микроплазмы по своим свойствам действительно совпадают с пинчковыми автосолитонами [3].

#### Список литературы

- [1] Грехов И. В., Сережкин Ю. Н. Лавинный пробой  $p-n$ -перехода в полупроводниках. Л., 1980. 152 с.
- [2] Графийчук В. В., Дацко Б. Й., Кернер Б. С., Осипов В. В. // ФТП. 1990. Т. 24. В. 4. С. 724—730.
- [3] Кернер Б. С., Осипов В. В. // УФН. 1989. Т. 157. В. 2. С. 201—266.

Научно-производственное объединение «Орион»  
Москва

Получена 13.02.1990  
Принята к печати 19.04.1990